

Открытая олимпиада по механике и математическому моделированию

Май, 2015 г.

Условия задач

Задача 1. Двигатель Ванкеля

Двигатель Ванкеля (рис. 1) состоит из:

1. ротора, выполненного в виде треугольника Рёло¹, насаженного на эксцентриковый вал,
2. неподвижной шестерни — статора, вокруг которого, ротор совершает планетарное движение
3. и цилиндра специального профиля, вдоль поверхности которого без отрыва скользят вершины ротора A , B , C .

Ротор отсекает от цилиндра три рабочие камеры, каждая из которых при вращении ротора претерпевает изменение объёма. Для того, чтобы эффективность двигателя была максимальна, горючая смесь в камере должна сжиматься как можно сильнее. Другими словами, отношение k наибольшего объёма рабочей камеры к её наименьшему объёму должно быть максимально.

Определите максимальное возможное значение коэффициента k в двигателе Ванкеля с погрешностью, не превышающей 1 %.

Задача 2. Космический мусор

С космодрома Байконур стартовала ракета-носитель «Союз» с космическим грузовым кораблём «Прогресс». Последняя ступень ракеты после отделения от неё космического корабля стала космическим мусором. С помощью радиолокационных средств определяются два радиус-вектора последней ступени в инерциальной системе координат с центром в центре Земли в разные моменты времени:

$$\mathbf{r}_1 = \begin{pmatrix} 4000 \\ 3667 \\ 4529 \end{pmatrix} \text{ км}, \quad \mathbf{r}_2 = \begin{pmatrix} -3524 \\ 3549 \\ 4382 \end{pmatrix} \text{ км}.$$

1. Определите по имеющимся данным величину эксцентриситета наиболее круглой орбиты последней ступени.
2. При каких значениях эксцентриситета космический обломок будет пересекать траекторию Международной космической станции, тем самым создавая угрозу столкновения и при этом не падая на Землю?

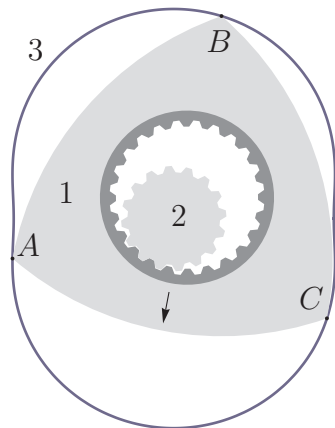


Рис. 1

¹Фигуры постоянной ширины

Ответ вычислить до третьей значащей цифры. Считать, что траектории МКС и обломка лежат в одной плоскости. Поле притяжения Земли — центральное, влиянием атмосферы пренебречь, Землю считать сферой с радиусом $R = 6400$ км. Предполагать, что обломок «упал» на Землю, если его высота стала меньше $h_c = 130$ км. Орбиту МКС считать круговой с высотой $H = 350$ км.

Задача 3. Гравитационный бильярд

Материальная точка может двигаться в однородном поле тяжести внутри абсолютно упругой окружности единичного радиуса расположенной неподвижно в вертикальной плоскости. Будем называть траекторию n -периодической, если она периодическая и содержит n соударений с окружностью за период.

1. Запишите уравнения движения точки и обезразмерьте их, перейдя к переменным: \mathbf{r} — радиус-вектор точки, $\mathbf{v} = \mathbf{V}/\sqrt{g}$ — обезразмеренная скорость (\mathbf{V} — скорость точки), $t = T\sqrt{g}$ — обезразмеренное время (T — время).
2. Постройте все возможные 1- и 2-периодические траектории, укажите соответствующие им начальные условия.
3. Предложите какие-нибудь траектории периода 3, 4 и 5, укажите соответствующие им начальные условия.

Приведите численные ответы с погрешностью, не превышающей 1 %.

Задача 4. Несколько цветов

Рассмотрим получение комплексного решения простого уравнения $f(z) = z^3 - 1 = 0$ итерационным методом Ньютона:

$$z_{n+1} = z_n - \frac{f(z_n)}{f'(z_n)}.$$

1. Определите, к какому корню сойдётся метод, если в качестве начальной точки взять $z_0 = q_1 = 0,1159 + 0,583 i$.
2. Определите, к какому корню сойдётся метод, если в качестве начальной точки взять $z_0 = q_2 = 0,1161 + 0,583 i$.
3. Раскрасьте точки z комплексной плоскости в единичном квадрате $|\operatorname{Re} z| \leq 1$, $|\operatorname{Im} z| \leq 1$ в несколько цветов в зависимости от корня, к которому сходится метод, если точку z взять в качестве начального приближения. Изобразите схематично рисунок.
4. Рассмотрим луч, соответствующий отрицательным вещественным числам. Методом из предыдущего пункта, он разобьётся на разноцветные отрезки. Определите к какому числу δ будет сходиться отношение длин двух соседних отрезков (при движении к $-\infty$).

Приведите ответы с погрешностью, не превышающей 1 %.

Задача 5. Ток в квадрате

Тонкий однородный проводящий квадрат имеет удельную поверхностную проводимость² σ . К вершинам одной стороны подключили источник тока и начали пропускать ток I . Определите напряжение между двумя другими вершинами с погрешностью, не превышающей 1 %.

Примечание. Напряжение между двумя точками равно разности потенциалов в этих точках. Потенциал φ удовлетворяет дифференциальному уравнению:

$$\Delta\varphi = \frac{1}{\sigma} \sum_j I_j \delta(\mathbf{r} - \mathbf{r}_j),$$

где \mathbf{r} — радиус вектор (x, y) , I_j — ток, который втекает в точку \mathbf{r}_j , $\delta(r)$ — двумерная дельта-функция Дирака.

Задача 6. Мёбиус, остынь!

Из тонкого однородного материала с коэффициентом температуропроводности $a = 1$ сделана лента Мёбиуса, точки которой описываются в пространстве параметрическим уравнением:

$$\mathbf{r} = \begin{pmatrix} [v \cos(u/2) + 2] \cos u \\ [v \cos(u/2) + 2] \sin u \\ v \sin(u/2) \end{pmatrix}, \quad u \in [-\pi, \pi], \quad v \in [-1, 1].$$

Лента теплоизолирована, и в начальный момент времени $t_0 = 0$ температура точек ленты равна:

$$T_0(u, v) = v(v^2 - 3)(u^3 + \pi^2 u^2 - 3\pi^2 u - \pi^4).$$

1. Определите температуру T_∞ листа после остывания.
2. Постройте график зависимости температуры точки $u = v = 0$ от времени и определите температуру этой точки при $t_1 = 0,5$.

Примечание. Остывание теплоизолированной ленты описывается уравнением Лапласа с неймановскими граничными условиями (поток тепла через границу равен нулю):

$$\frac{dT}{dt} = a^2 \Delta T, \quad \left. \frac{\partial T}{\partial \mathbf{n}} \right|_{\partial \Omega} = 0,$$

где Δ — оператор Лапласа, a — коэффициент температуропроводности.

²Если к сторонам прямоугольника с длиной l и шириной b подвести напряжение U , то сила тока составит $I = \sigma U b / l$

Решение задач

Задача 1. Двигатель Ванкеля

Пусть отношения радиусов шестерни статора и шестерни ротора $r : R = n : m$. Так как три точки ротора движутся по одной и той же траектории, то, следовательно, через треть полного оборота ротора система переходит сама в себя, откуда $m = 3$. А так как расстояние от оси до вершины ротора имеет два максимума и минимума за период, то $n = 2$. Таким образом, радиус шестерни статора $r = 2R/3$, а расстояние между центрами шестерён $R - r = R/3$.

Пусть ширина ротора (расстояние между вершинами) равна a , тогда расстояние от вершины ротора до его центра равно $h = a/\sqrt{3}$.

Кривая, задающая поверхность цилиндра, является гипотрохой³ (рис. 2). Параметрическое уравнение гипотрохи:

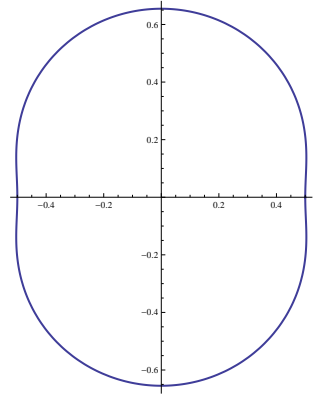


Рис. 2

$$\vec{r}(\varphi) = \begin{pmatrix} (r - R) \cos \varphi + h \cos \left(\frac{r - R}{R}, \varphi \right) \\ (r - R) \sin \varphi - h \sin \left(\frac{r - R}{R}, \varphi \right) \end{pmatrix} = \begin{pmatrix} -\frac{R}{3} \cos \varphi + \frac{a}{\sqrt{3}} \cos \frac{\varphi}{3} \\ -\frac{R}{3} \sin \varphi + \frac{a}{\sqrt{3}} \sin \frac{\varphi}{3} \end{pmatrix}.$$

Если вершина ротора A имеет радиус-вектор $\vec{r}_A = \vec{r}(\varphi)$ то $\vec{r}_B = \vec{r}(\varphi + 2\pi)$ и $\vec{r}_C = \vec{r}(\varphi + 4\pi)$.

Максимальный объём (площадь) S_{\max} камеры BC достигается при $\varphi = 3\pi/2$ (рис. 3) и равен:

$$S_{\max} = S_i - S_s - S_{\Delta},$$

где S_i — площадь, которую заметает вектор \vec{r} при движении вдоль гипотрохи от B до C , S_s — площадь сегмента BCQ , S_{Δ} — площадь $\triangle OBC$.

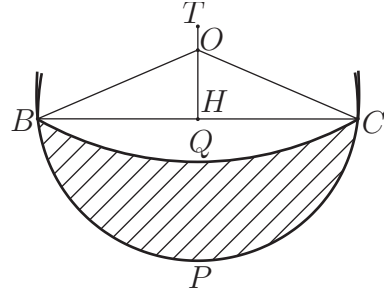


Рис. 3

³Гипотрохоида — плоская кривая, образуемая фиксированной точкой, находящейся на фиксированной радиальной прямой окружности, катящейся по внутренней стороне другой окружности.

Площадь S_i найдём как интеграл:

$$\begin{aligned} S_i &= \frac{1}{2} \int_B^C |\vec{r} \times d\vec{r}| = \frac{1}{2} \int_{7\pi/2}^{11\pi/2} \left| \vec{r} \times \frac{d\vec{r}}{d\varphi} \right| d\varphi = \\ &= \frac{1}{54} \int_{7\pi/2}^{11\pi/2} \left(3(a^2 + R^2) - 4\sqrt{3}aR \cos \frac{2\varphi}{3} \right) d\varphi = \frac{\pi(a^2 + R^2) - 3aR}{9}. \end{aligned}$$

Площади S_s и S_Δ равны:

$$S_s = \frac{\pi}{6}a^2 - \frac{\sqrt{3}}{4}a^2, \quad S_\Delta = \frac{a}{2} \left(a\frac{\sqrt{3}}{6} - \frac{R}{3} \right).$$

Окончательно, площадь S_{\max} :

$$S_{\max} = \frac{3\sqrt{3} - \pi}{18}a^2 - \frac{1}{2}aR + \frac{\pi}{9}R^2.$$

Минимальная площадь S_{\min} находится аналогично. При этом пределы интегрирования в S_i от 2π до 4π . А в формуле для S_Δ длина $|OH| = a\sqrt{3}/6 + R/3$. Таким образом,

$$S_{\min} = \frac{3\sqrt{3} - \pi}{18}a^2 + \frac{1}{2}aR + \frac{\pi}{9}R^2.$$

Значение коэффициента k :

$$k = \frac{S_{\max}}{S_{\min}} = \frac{(3\sqrt{3} - \pi)a^2 + 9aR + 2\pi R^2}{(3\sqrt{3} - \pi)a^2 - 9aR + 2\pi R^2}$$

растёт при увеличении R и уходит на бесконечность (рис. 4), и, казалось бы, k может быть сколь угодно большим. Но при больших значениях R поверхность ротора будет при движении пересекать поверхность цилиндра. Поскольку ротор — фигура постоянной ширины a , можно потребовать, чтобы расстояние между любыми двумя точками гипотрохиды с разностью фаз от 2π до 4π было не меньше a . Несложный анализ показывает, что ближайшие точки соответствуют углам $\varphi_1 = 0$ и $\varphi_2 = 3\pi$.

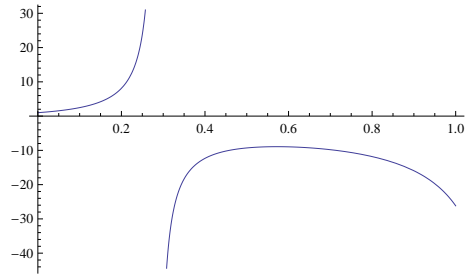


Рис. 4

$$|\vec{r}(0) - \vec{r}(3\pi)| = 2 \left(\frac{a}{\sqrt{3}} - \frac{R}{3} \right) \geq a, \quad \text{откуда} \quad R \leq \left(\sqrt{3} - \frac{3}{2} \right) a.$$

Окончательно:

$$k_{\max} = \frac{27 - 24\sqrt{3} + (12\sqrt{3} - 19)\pi}{12\sqrt{3} - 27 + (12\sqrt{3} - 19)\pi} \approx 14,72.$$

Задача 2. Космический мусор

В центральном гравитационном поле движение тел является плоским, а траектории в полярной системе координат описываются уравнением кривых второго порядка.

$$r = \frac{p}{1 + e \cos \theta}$$

где r — модуль радиус-вектора, p — параметр орбиты, e — эксцентриситет орбиты, θ — угол между направлением на пассивно гравитирующее тело и направлением на перигецентр.

Так как имеется два значения радиус-векторов \mathbf{r}_1 и \mathbf{r}_2 , то можно записать следующую систему:

$$\begin{aligned} r_1 &= \frac{p}{1 + e \cos \theta}, \\ r_2 &= \frac{p}{1 + e \cos(\theta + \alpha)} \end{aligned}$$

Здесь α — угол между векторами \mathbf{r}_1 и \mathbf{r}_2 , $\alpha = \arccos(\mathbf{r}_1, \mathbf{r}_2)$.

Избавляясь в системе уравнений от θ , находим:

$$e^2 = \left(\frac{p}{r_1} - 1 \right)^2 + \left(\frac{p(r_1 - r_2 \cos \alpha)}{r_1 r_2 \sin \alpha} - \frac{\sin \alpha}{1 + \cos \alpha} \right)^2. \quad (1)$$

В данном уравнении p параметризует различные орбиты, проходящие через \mathbf{r}_1 и \mathbf{r}_2 .

Для нахождения наикруглейшей орбиты решим уравнение $\frac{d(e^2)}{dp} = 0$.

В результате получим

$$p_{\min} = \frac{r_1 r_2 (r_1 + r_2)}{r_{12}^2} (1 - \cos \alpha)$$

где $r_{12}^2 = r_1^2 + r_2^2 - 2r_1 r_2 \cos \alpha$. При этом

$$e(p_{\min}) = \frac{|r_1 - r_2|}{r_{12}}.$$

В условиях задачи $r_1 = 7068$ км, $r_2 = 6650$ км, $\alpha = 1,16$. Тогда $p_{\min} = 6838$ км, $e_{\min} = 0,0556$.

В условиях задачи обломок пересекает траекторию МКС всегда, так как $r_1 = 7068$ км, что выше орбиты МКС, а $r_2 = 6650$ км, что ниже орбиты МКС.

Нужно найти такие значения эксцентриситета, когда обломок не упадет на Землю:

$$r_{min} = p_{\pi} = \frac{p}{1+e} \geq 130 \text{ км} \quad (2)$$

Будем изменять значение параметра и вычислять значение эксцентриситета согласно формуле (1) и проверять условие (2).

Из графика видно, что обломок не будет падать при значениях эксцентриситета $e \in [0,0567; 0,351]$ (рис. 5).

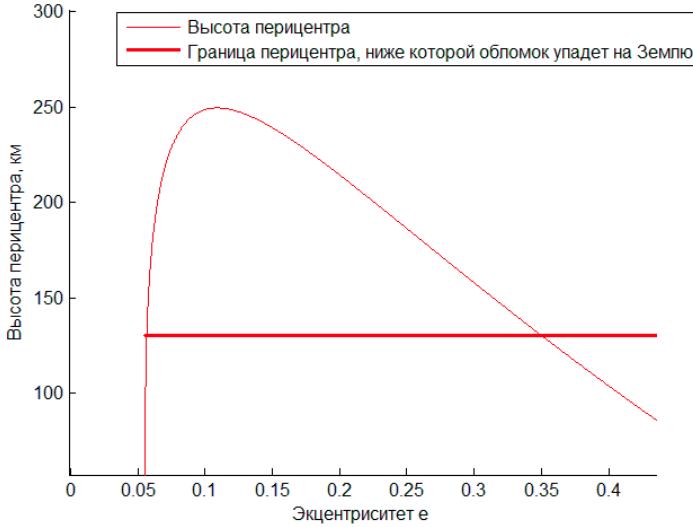


Рис. 5

Задача 3. Гравитационный бильярд

Выберем декартову систему координат, начало которой совпадает с центром окружности, ось y направлена вверх, ось x — вправо. Динамика системы описывается двумя векторными уравнениями, выражающими второй закон Ньютона и закон удара:

$$\frac{d^2 \mathbf{R}}{dT^2} = \mathbf{g}, \quad \mathbf{V}_+ = \mathbf{V}_- - 2(\mathbf{V}_- \cdot \mathbf{n})\mathbf{n},$$

где \mathbf{g} — ускорение свободного падения, \mathbf{V}_- — скорость точки до удара, \mathbf{V}_+ — скорость точки после удара, \mathbf{n} — единичный вектор нормали, направленный к центру окружности. Система консервативна, следовательно можно записать интеграл энергии:

$$\frac{m\mathbf{V}^2}{2} + mgy = H_0,$$

где m — масса точки, y — ордината точки, H_0 — интеграл энергии. Используя приведённые в указании формулы перейдём к безразмерным уравнениям:

$$\frac{d^2x}{dt^2} = 0, \quad \frac{d^2y}{dt^2} = -1, \quad (3)$$

$$\mathbf{v}_+ = \mathbf{v}_- - 2(\mathbf{v}_- \cdot \mathbf{n})\mathbf{n}, \quad (4)$$

$$\frac{\mathbf{v}^2}{2} + y = h_0, \quad (5)$$

где $h_0 = \frac{H_0}{mg}$.

1. Очевидно, существует только одно семейство 1-периодических траекторий: это траектории лежащие на отрезке $-1 \leq y < 1$, причем $x \equiv 0$. Второе неравенство строгое, так как 1-периодическая траектория предполагает только один удар за период движения точки. Семейству таких траекторий соответствуют следующие начальные условия:

$$x_0 = 0, \quad v_{x0} = 0, \quad -1 < h_0 < 1.$$

2. Необходимым условием 2-периодической траектории является ее симметричность относительно оси ординат. Следовательно, координаты точек удара должны удовлетворять уравнениям:

$$x_0 = -x_1, \quad y_0 = y_1, \quad (6)$$

где индексами 0 и 1 обозначены первый и второй удар точки. В силу уравнений (3), траекторией движения между ударами является парабола (не считая вырожденных случаев):

$$x = x_0 + v_{x0}t, \quad y = y_0 + v_{y0}t - \frac{t^2}{2}, \quad (7)$$

где x_0, y_0, v_{x0}, v_{y0} — начальные координаты и проекции начальной скорости точки. Отсюда следует, что возможны два невырожденных семейства 2-периодических траекторий: первое семейство представляет из себя параболу, по которой движется точка между ударами, а второе — две параболы, причем в одну сторону точка движется по одной параболе, а в другую (после удара) — по другой. Получим соответствующие начальные условия.

Пусть в начальный момент точка имеет координаты x_0, y_0 и проекции скорости v_{x0}, v_{y0} . В силу уравнений (7), в момент удара проекции скорости равны v_{x0} и $-v_{y0}$. В соответствии с (4), учитывая что $\mathbf{n} = \begin{bmatrix} -x_1 \\ -y_1 \end{bmatrix}$, получим:

$$\begin{bmatrix} v_{x1} \\ v_{y1} \end{bmatrix} = \begin{bmatrix} v_{x0} \\ -v_{y0} \end{bmatrix} - 2 \begin{bmatrix} x_0 \\ -y_0 \end{bmatrix} (v_{x0}x_0 + v_{y0}y_0),$$

где v_{x1} и v_{y1} — проекции скорости точки сразу после удара. Подставим граничные условия (6) в уравнения (7):

$$2x_0 = -v_{x0}t, \quad v_{y0} - \frac{t}{2} = 0,$$

откуда $x_0 = -v_{x0}v_{y0}$. Аналогично $-x_1 = x_0 = v_{x1}v_{y1}$. Раскроем это равенство учитывая выражения для v_{x1} и v_{y1} :

$$\begin{aligned} x_0 &= v_{x1}v_{y1} = (v_{x0} - 2x_0(v_{x0}x_0 + v_{y0}y_0))(-v_{y0} + 2y_0(v_{x0}x_0 + v_{y0}y_0)) = \\ &= -v_{x0}v_{y0} + 2y_0v_{x0}(v_{x0}x_0 + v_{y0}y_0) + 2v_{y0}x_0(v_{x0}x_0 + v_{y0}y_0) - \\ &\quad - 4x_0y_0(v_{x0}x_0 + v_{y0}y_0)^2, \\ y_0v_{x0}(v_{x0}x_0 + v_{y0}y_0) + v_{y0}x_0(v_{x0}x_0 + v_{y0}y_0) - 2x_0y_0(v_{x0}x_0 + v_{y0}y_0)^2 &= 0. \end{aligned}$$

Сокращая на $v_{x0}x_0 + v_{y0}y_0 \neq 0$, получим:

$$y_0v_{x0} + v_{y0}x_0 - 2x_0y_0(v_{x0}x_0 + v_{y0}y_0) = 0.$$

Подставим $v_{x0} = -\frac{x_0}{v_{y0}}$:

$$\begin{aligned} -\frac{x_0y_0}{v_{y0}} + v_{y0}x_0 - 2x_0y_0 \left(-\frac{x_0^2}{v_{y0}} + v_{y0}y_0 \right) &= 0, \\ (1 - 2y_0^2)v_{y0}^2 &= y_0(1 - 2x_0^2). \end{aligned}$$

Будем выбирать начальные координаты точки на окружности, в таком случае их можно задать через угол α_0 — острый угол образуемый вертикалью и радиусом, проведенным в начальную точку: $x_0 = \sin \alpha_0$, $y_0 = -\cos \alpha_0$. Тогда

$$(v_{y0}^2 - \cos \alpha_0) \cos 2\alpha_0 = 0.$$

Полученное уравнение выполняется в двух случаях.

Пусть сначала $\cos 2\alpha_0 \neq 0$. Тогда $v_{y0} = \sqrt{\cos \alpha_0}$ и $v_{x0} = -\frac{\sin \alpha_0}{\sqrt{\cos \alpha_0}}$. Получаем следующие начальные условия выраженные через угол α_0 :

$$x_0 = \sin \alpha_0, \quad v_{x0} = -\frac{\sin \alpha_0}{\sqrt{\cos \alpha_0}}, \quad y_0 = -\cos \alpha_0, \quad v_{y0} = \sqrt{\cos \alpha_0}.$$

Семейство траекторий соответствующее выписанным начальным условиям назовем *параболой*. На рисунке 6 приведен экземпляр из этого семейства, при этом $\alpha_0 = -\pi/3$.

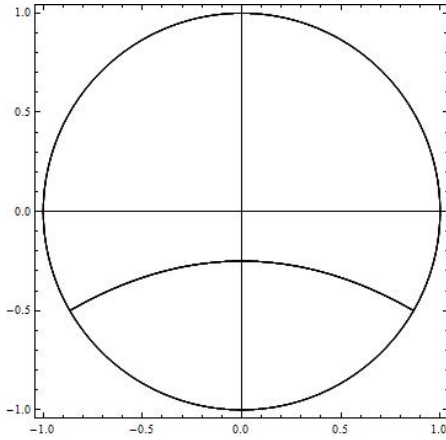


Рис. 6. Траектория из семейства парабол

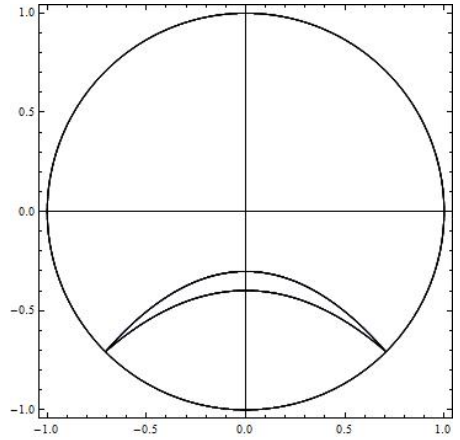


Рис. 7. Траектория из семейства параболических полумесяцев

Пусть теперь $\cos 2\alpha_0 = 0$, что эквивалентно значениям $\alpha_0 = \pm \frac{\pi}{4}$. Одна из проекций (пусть v_{y0}) скорости может при этом варьироваться. Границы v_{y0} можно определить из интеграла энергии (5). Энергия в начальной точке

$$h_0 = \frac{v_{x0}^2 + v_{y0}^2}{2} - \cos \alpha_0.$$

В силу симметричности параболы, значению $x = 0$ соответствует $v_y = 0$. Верхняя граница v_{y0} находится из условия достижения точкой ординаты $y = 1$:

$$h_0 = \frac{v_{x0}^2}{2} + 1.$$

Нижняя граница v_{y0} равна нулю, что соответствует значению v_{x0} равному бесконечности:

$$h_0 = \frac{v_{x0}^2}{2} - \cos \alpha_0.$$

Начальные условия:

$$x_0 = \sin \alpha_0, \quad v_{x0} = -\frac{\sin \alpha_0}{v_{y0}}, \quad y_0 = -\cos \alpha_0, \quad 0 < v_{y0} \leq \sqrt{2 + 2 \cos \alpha_0},$$

где $\alpha_0 = \pm \frac{\pi}{4}$. Траекторию из семейства, соответствующего выписанным начальным условиям, назовем *параболическим полумесяцем*. На рисунке 7 представлен экземпляр семейства, причем $v_{y0} = 0.9$.

Третьему, и последнему, семейству 2-периодических траекторий соответствует вырожденный случай: движение точки по оси ординат с попеременным ударом

в точках $x = 0, y = \pm 1$. Такому семейству соответствуют начальные условия:

$$x_0 = 0, \quad v_{x0} = 0, \quad h_0 > 1.$$

3. Найдем начальные условия, задающие семейство 4-периодических траекторий, которое будем называть *чайка*. Установим следующие краевые условия:

$$x_1 = 0, \quad y_1 = -1,$$

где индекс 1 соответствует точке первого удара. Подставляя эти условия в уравнения (7), получим:

$$t = -\frac{x_0}{v_{x0}}, \quad -1 = y_0 + v_{y0}t - \frac{t^2}{2}.$$

Исключая t и предполагая, что в начальный момент времени скорость направлена по радиусу окружности, то есть $\frac{v_{y0}}{v_{x0}} = \operatorname{ctg} |\alpha_0|$, получим выражение для v_{x0} :

$$-1 = y_0 - v_{y0} \frac{x_0}{v_{x0}} - \frac{x_0^2}{2v_{x0}^2} = y_0 - x_0 \operatorname{ctg} |\alpha_0| - \frac{x_0^2}{2v_{x0}^2},$$

$$v_{x0} = -\frac{x_0}{\sqrt{2(1 + y_0 - x_0 \operatorname{ctg} |\alpha_0|)}} = -\frac{\sin \alpha_0}{\sqrt{2(1 + \cos \alpha_0 - \cos \alpha_0)}} = -\frac{\sin \alpha_0}{\sqrt{2}}.$$

Семейству траекторий типа чайка соответствуют начальные условия

$$x_0 = \sin \alpha_0, \quad v_{x0} = -\frac{\sin \alpha_0}{\sqrt{2}}, \quad y_0 = -\cos \alpha_0, \quad v_{y0} = \frac{\cos \alpha_0}{\sqrt{2}}.$$

Одна из траекторий семейства представлена на рисунке 8, при этом $\alpha_0 = \frac{\pi}{4}$.

Подобным (а может быть и совсем иным) образом можно составить еще множество семейств траекторий. Ниже приведены (без доказательства и пояснений) некоторые найденные замкнутые 3- 4- и 5-периодические траектории движения точки.

3-периодической траектории (рис. 9а) соответствуют начальные условия:

$$x_0 = 0, \quad v_{x0} = 0.1548, \quad y_0 = -1, \quad v_{y0} = \sqrt{1 - v_{x0}^2}.$$

5-периодической траектории (рис. 9b) отвечают начальные условия:

$$x_0 = 0, \quad v_{x0} = 0.509, \quad y_0 = -1, \quad v_{y0} = \sqrt{1 - v_{x0}^2}.$$

4-периодической траектории (рис. 9с) соответствуют начальные условия:

$$x_0 = 0, \quad v_{x0} = 1.00912971, \quad y_0 = -0.00528, \quad v_{y0} = 0.$$

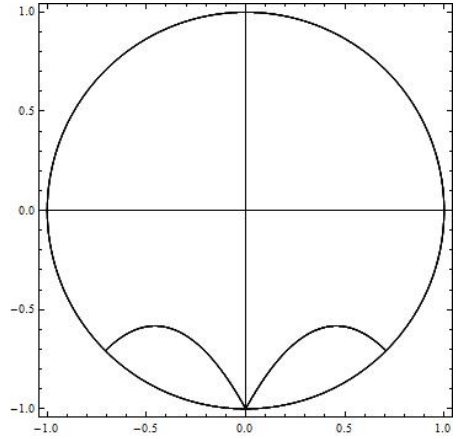


Рис. 8. Траектория из семейства чайка

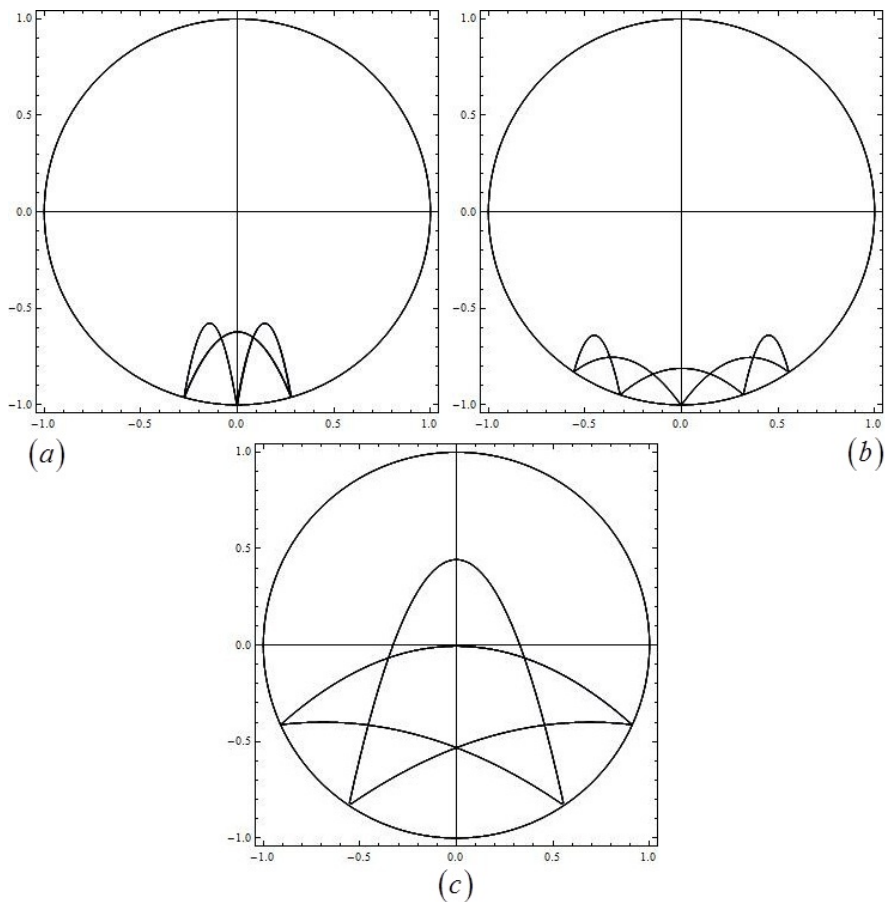


Рис. 9. Примеры траекторий: а) 3-периодическая, б) 5-периодическая, в) 4-периодическая

Задача 4. Несколько цветов

Имеем отображение

$$f(z) = z - \frac{z^3 - 1}{3z^2},$$

которое может сходиться к одному из трёх корней:

$$p_1 = 1, \quad p_2 = -\frac{1}{2} + \frac{\sqrt{3}}{2}i, \quad p_3 = -\frac{1}{2} - \frac{\sqrt{3}}{2}i.$$

Непосредственной проверкой убеждаемся, что отображение из точки q_1 сходится к корню p_3 , а из точки q_2 — к p_1 .

Раскрасим карту областей притяжения корней $p_{1,2,3}$ красным, зелёным и жёлтыми цветами соответственно (рис. 10). Граница между областями представляет собой фрактал, подобные фракталы известны как «бассейны Ньютона». Отметим одну интересную фрактальную особенность «бассейнов»: в любой окрестности, в которой присутствуют два цвета, обязательно будет присутствовать и третий. На увеличенном рисунке видно, что хотя точки q_1 и q_2 находятся очень близко, они лежат в разных областях притяжения, и в их окрестности присутствуют все три цвета (рис. 11).

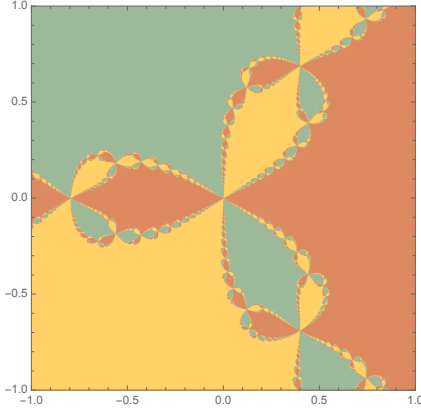


Рис. 10

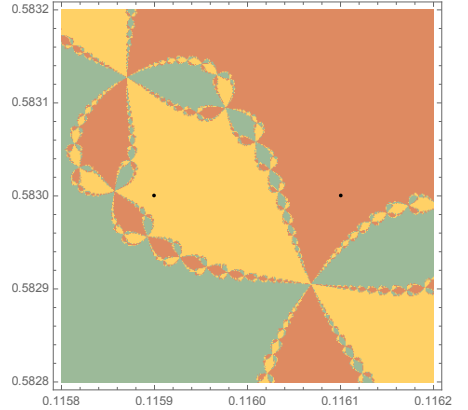


Рис. 11

Чтобы ответить на последний вопрос, заметим, что отображение f переводит действительные числа в действительные. Однако, часть точек, лежащих на действительной оси не притягиваются к корню p_1 , а за конечное число шагов отображаются в ноль (функция f в нуле не определена). Таким образом, луч отрицательных чисел разбивается такими точками на интервалы, отношение длин которых при движении к $-\infty$ и требуется определить.

Поскольку нас интересуют большие по модулю z , пренебрежём единицей в функции f :

$$f(z) \approx z - \frac{z^3}{3z^2} = \frac{2}{3}z.$$

Таким образом, координаты соседних разбивающих точек относятся как 3 к 2, а значит длины самих интервалов относятся так же. Окончательно, $\delta = 3/2$.

Задача 5. Ток в квадрате

Поскольку сопротивление квадрата не зависит от длины его стороны, то можно считать квадрат единичным. Пусть ток выходит из точки $(0, 0)$, а входит в точку $(1, 0)$. Тогда уравнение для потенциала запишется в виде:

$$\Delta\varphi = \frac{4I}{\sigma} \left(\delta(1-x, y) - \delta(x, y) \right).$$

Четвёрка в этом выражении появляется потому, что интеграл дельта-функции $\delta(x, y)$ по квадрату $[0, 1] \times [0, 1]$ равен $1/4$. Обезразмерим потенциал, «забыв» про I/σ . Рассмотрим неоднородную задачу Неймана на квадрате:

$$\begin{aligned} \Delta\varphi &= 4(\delta(1-x, y) - \delta(x, y)), \\ \varphi_x(0, y) &= \varphi_x(1, y) = \varphi_y(x, 0) = \varphi_y(x, 1) = 0. \end{aligned}$$

Решение найдём как суперпозицию функции $\psi(x, y)$, которая удовлетворяет уравнению Пуассона

$$\Delta\psi = 4(\delta(1-x, y) - \delta(x, y)) \quad (8)$$

на всей плоскости, и функции $u(x, y)$, которая является решением однородной задачи Неймана:

$$\Delta u = 0, \quad (9)$$

$$u_x(0, y) = -\psi_x(0, y), \quad u_x(1, y) = -\psi_x(1, y), \quad (10)$$

$$u_y(x, 0) = -\psi_y(x, 0), \quad u_y(x, 1) = -\psi_y(x, 1). \quad (11)$$

Решение уравнения (8) находится достаточно легко, так как функция Грина для двумерного уравнения Пуассона хорошо известна:

$$G(x, y) = \frac{1}{4\pi} \ln(x^2 + y^2). \quad (12)$$

Таким образом,

$$\psi(x, y) = 4G(1-x, y) - 4G(x, y) = \frac{2}{\pi} \left[\frac{1}{2} \ln \left((1-x)^2 + y^2 \right) - \frac{1}{2} \ln(x^2 + y^2) \right]. \quad (13)$$

Забудем пока для удобства про множитель $2/\pi$ и восстановим его в конце.

Определим граничные условия для функции u , подставив (13) в (10-11):

$$u_x(0, y) = -\psi_x(0, y) = \frac{1}{1+y^2}, \quad (14)$$

$$u_x(1, y) = -\psi_x(1, y) = \frac{1}{1+y^2}, \quad (15)$$

$$u_y(x, 0) = -\psi_y(x, 0) = 0, \quad (16)$$

$$u_y(x, 1) = -\psi_y(x, 1) = \frac{1-2x}{(1+x^2)(2-2x+x^2)}. \quad (17)$$

Рассмотрим задачу Неймана с ненулевыми граничными условиями только по одной координате:

$$\Delta v = 0, \quad (18)$$

$$v_x(0, y) = v_x(1, y) = \frac{1}{1 + y^2}, \quad (19)$$

$$v_y(x, 0) = v_y(x, 1) = 0. \quad (20)$$

Будем искать решение методом разделения переменных $v(x, y) = f(x)g(y)$:

$$\Delta v = f''g + fg'' = 0, \quad \text{откуда} \quad \frac{f''}{f} = -\frac{g''}{g} = \lambda = \text{const}.$$

Если $\lambda = -p^2 < 0$, то

$$f(x) = F_1 \cos px + F_2 \sin px, \quad g(y) = G_1 e^{py} + G_2 e^{-py}$$

Пытаясь выполнить (20), получаем $G_1 = G_2 = 0$, что противоречит условию (19). Следовательно $\lambda = p^2$, и

$$f(x) = F_1 e^{px} + F_2 e^{-px}, \quad g(y) = G_1 \cos py + G_2 \sin py.$$

Условия (20) тогда запишутся как

$$g'(0) = G_2 = 0, \quad g'(1) = -G_1 \sin p + G_2 \cos p = 0,$$

Откуда находим, что $p = n\pi$, и тогда функция v (с учётом тривиального решения для $p = 0$) будет иметь вид

$$v(x, y) = A_0 x + \sum_n \left(A_n e^{n\pi x} + B_n e^{-n\pi x} \right) \cos n\pi y.$$

Граничное условие (19) даст:

$$A_0 + \sum_n n\pi (A_n - B_n) \cos n\pi y = \frac{1}{1 + y^2},$$

$$A_0 + \sum_n n\pi (A_n e^{n\pi} - B_n e^{-n\pi}) \cos n\pi y = \frac{1}{1 + y^2}.$$

Представляя правую часть в виде гармонического ряда Фурье

$$\frac{1}{1 + y^2} = \sum_n \eta_n \cos n\pi y, \quad \eta_0 = \int_0^1 \frac{dt}{1 + t^2} = \frac{\pi}{4}, \quad \eta_n = 2 \int_0^1 \frac{\cos n\pi t}{1 + t^2} dt,$$

найдем

$$A_0 = \eta_0, \quad B_n = -A_n e^{n\pi} = \frac{\eta_n}{n\pi} \frac{e^{n\pi}}{e^{n\pi} + 1},$$

и окончательно

$$\begin{aligned} v(x, y) &= \frac{\pi}{4}x + \sum_n \frac{\eta_n}{n\pi} \frac{e^{n\pi x} - e^{n\pi(1-x)}}{e^{n\pi} + 1} \cos n\pi y = \\ &= \frac{\pi}{4}x + \sum_n \frac{\eta_n}{n\pi} \frac{\operatorname{sh} n\pi \left(x - \frac{1}{2}\right)}{\operatorname{ch} \frac{n\pi}{2}} \cos n\pi y. \end{aligned}$$

Аналогично решим задачу Неймана для условий по другой координате:

$$w_y(x, 0) = 0, \quad w_y(x, 1) = \frac{1 - 2x}{(1 + x^2)(2 - 2x + x^2)}, \quad w_x(0, y) = w_x(1, y) = 0.$$

$$w(x, y) = C_0 y + \sum_m \left(C_m e^{m\pi y} + D_m e^{-m\pi y} \right) \cos m\pi x.$$

$$C_0 + \sum_m m\pi (C_m - D_m) \cos m\pi x = 0,$$

$$C_0 + \sum_m m\pi (C_m e^{m\pi} - D_m e^{-m\pi}) \cos m\pi x = \frac{1 - 2x}{(1 + x^2)(2 - 2x + x^2)}.$$

$$\frac{1 - 2x}{(1 + x^2)(2 - 2x + x^2)} = \sum_m \xi_m \cos m\pi x,$$

$$\xi_0 = \int_0^1 \frac{(1 - 2t)dt}{(1 - t^2)(2 - 2t + t^2)} = 0,$$

$$\xi_m = 2 \int_0^1 \frac{(1 - 2t) \cos m\pi t}{(1 - t^2)(2 - 2t + t^2)} dt = 2((-1)^m - 1) \int_0^1 \frac{\cos m\pi t}{1 + t^2} dt,$$

Так как функция (17) нечётная относительно $x = 1/2$, а при $m = 2k$ гармоника $\cos m\pi t$ чётная относительно $x = 1/2$, то интеграл ξ_m будет равен нулю, и в сумму войдут только нечётные слагаемые.

$$C_0 = 0, \quad C_m = D_m = \frac{\xi_m}{m\pi} \frac{1}{e^{m\pi} - e^{-m\pi}},$$

$$w(x, y) = \sum_m \frac{\xi_m}{m\pi} \frac{e^{m\pi y} - e^{-m\pi y}}{e^{m\pi} + e^{-m\pi}} \cos m\pi x = \sum_m \frac{\xi_m}{m\pi} \frac{\operatorname{ch} m\pi y}{\operatorname{sh} m\pi} \cos m\pi x.$$

Решение однородной задачи Нейманна (9-11) представится, как сумма $u = v + w$. Таким образом, решение исходной задачи:

$$\varphi(x, y) = \psi(x, y) + v(x, y) + w(x, y).$$

На рисунке 12 показаны эквипотенциальные линии и линии токов.

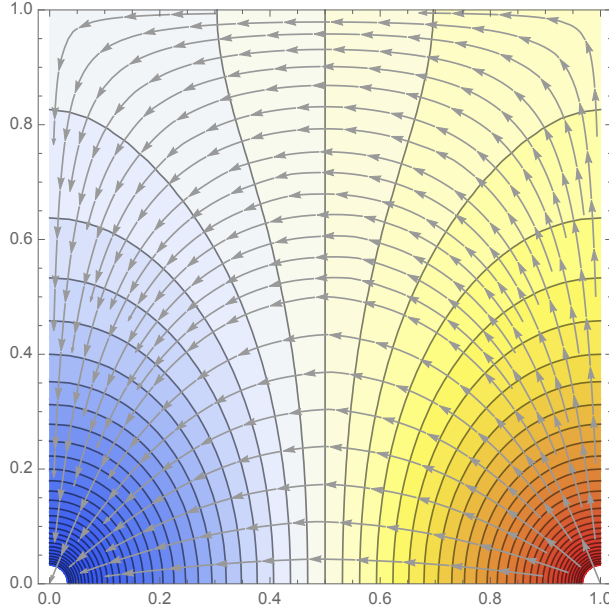


Рис. 12

Искомое напряжение $U = \varphi(0, 1) - \varphi(1, 1) = \delta\varphi = \delta\psi + \delta v + \delta w$.

$$\delta\psi = \ln 2, \quad \delta v + \delta w = -\frac{\pi}{4} - 4 \sum_{n=1}^{\infty} \frac{(-1)^n \operatorname{th} \frac{n\pi}{2} + ((-1)^n - 1) \operatorname{cth} n\pi}{n\pi} \int_0^1 \frac{\cos n\pi t}{1+t^2} dt.$$

Нетрудно видеть⁴, что $\delta v + \delta w = -\ln \sqrt{2}$. Вспомнив про все забытые вначале множители, окончательно получим:

$$U = \frac{\ln 2}{\pi} \frac{I}{\sigma} = 0,2206 \frac{I}{\sigma}.$$

⁴На самом деле авторы затрудняются доказать верность этого равенства, хотя и уверены в нём, и будут благодарны, если читатель сможет доказать это утверждение и пришлёт доказательство по адресу mipt.mmm@gmail.com.

Отметим, что в задаче не требовалось аналитическое решение и допускался численный расчёт двумерного уравнения Пуассона. При использовании простейшей пятиточечной схемы «крест» задача сводится к расчёту токов в квадратной проволочной сетке. При уменьшении размера ячейки сетки ответ, полученный численным расчётом, будет стремиться к ответу аналитического решения.

Задача 6. Мёбиус, остынь!

1. Нам заданы криволинейные координаты: $(u^1, u^2) = (u, v)$. Определим метрический тензор:

$$g_{ij} = \left(\frac{\partial \mathbf{r}}{\partial u^i}, \frac{\partial \mathbf{r}}{\partial u^j} \right) = \begin{pmatrix} g & 0 \\ 0 & 1 \end{pmatrix}, \quad \text{где } g = \frac{v^2}{2} \cos u + 4v \cos \frac{u}{2} + \frac{3}{4}v^2 + 4 = \det g_{ij}.$$

Элемент площади в такой метрике: $dS = \sqrt{g} du dv$.

По условию задачи лист однороден и теплоизолирован, тогда при его остывании $\int T dS = \text{const}$.

$$T_\infty = \frac{\int T_0(u, v) \sqrt{g} du dv}{\int \sqrt{g} du dv} = \frac{495,384}{25,413} = 19,493.$$

2. Как известно, лапласиан в криволинейных координатах записывается следующим образом:

$$\Delta T = \frac{1}{\sqrt{g}} \frac{\partial}{\partial u^i} \left(\sqrt{g} g^{ik} \frac{\partial T}{\partial u^k} \right).$$

Отметим, что после подстановки метрики, в выражении лапласиана помимо вторых производных T_{uu} и T_{vv} будут присутствовать первые: T_u и T_v , а смешанная производная — не будет.

Граничные условия вдоль границы листа $v = \pm 1$ соответствуют условиям Неймана:

$$\left. \frac{\partial T}{\partial v} \right|_{v=-1} = \left. \frac{\partial T}{\partial v} \right|_{v=1} = 0.$$

Граничные условия вдоль $u = \pm \pi$ являются периодическими и «перевёрнутыми»:

$$T(-\pi, v) = T(\pi, -v).$$

Если программировать решение уравнения теплопроводности самостоятельно, то такие «перевёрнутые» периодические граничные условия легко учесть. В подавляющем большинстве математических пакетов такие условия напрямую задать нельзя. Однако, есть способ привести их к обычным, «неперевёрнутым». Для этого «обойдём» ленту ещё раз ($\pi \leq u \leq 3\pi$), тогда периодические условия «перевернутся» ещё раз и станут обычными:

$$T(-\pi, v) = T(3\pi, v).$$

Начальные условия:

$$T_0(u, v) = \begin{cases} T_0(u, v), & \text{если } -\pi < u \leq \pi, \\ T_0(u - 2\pi, -v), & \text{если } \pi < u \leq 3\pi. \end{cases}$$

Конечно, в этом случае количество вычислений будет удвоено, зато они могут быть проведены стандартными методами математических пакетов.

Приведём требуемый график (рис. 13) и определим температуру $T_{0,5}(0, 0) = 29,1943$.

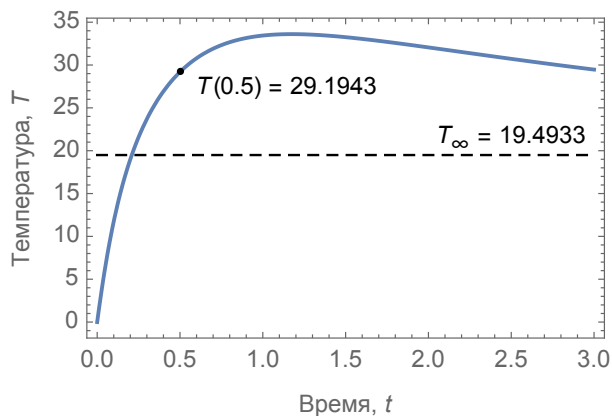


Рис. 13